

# 第 3 章 综合与设计性实验

---

## 3.1 FM 调频器

### 1. 实验前预习要求

- (1) 复习变容二极管的非线性特性和调频振荡器调制特性。
- (2) 查阅角度调制的原理和变容二极管调频电路的有关资料。

### 2. 实验目的

- (1) 了解变容二极管调频器电路的原理及构成。
- (2) 了解调频器的调制特性及测量方法。
- (3) 观察寄生调幅现象,了解其产生的原因及消除方法。

### 3. 实验仪器及设备

- (1) XSGZ 高频实验装置。
- (2) 直流稳压电源。
- (3) 高频信号发生器。
- (4) 多功能计数器。
- (5) 数字化扫频仪。
- (6) 双踪示波器。
- (7) 数字万用表。
- (8) 毫秒表。
- (9) 连接导线若干。

### 4. 实验电路原理及说明

实验电路如图 3-1 所示。图中变容二极管  $D_0$  和  $C_4$  构成振荡回路电容的一部分, 直流偏置电压通过电位器  $R_{P1}$  和电阻  $R_3$  及电感  $L_1$  加至变容二极管  $D_0$  的负端。 $C_2$  为变容二极管的交流通路, $R_4$  为变容二极管的直流通路, 电感  $L_1$  和电阻  $R_2$  组成隔离支路, 防止载波信号通过电源和低频回路短路。低频信号从 IN 端输入, 通过变容二极管  $D_0$  实现直接调频。 $C_1$  为耦合电容, 晶体三极管  $T_2$  对调制波进行放大, 通过  $R_{P3}$  控制调制波的幅度。晶体三极管  $T_3$  为射极跟随器, 以减小负载对调频电路的影响。F 为输出端, 在此输出 10MHz 调制波信号。通过隔离电容  $C_{12}$  接数字频率计, 目的是减小对输出波形的影响。将示波器接在 F

端观测输出波形。

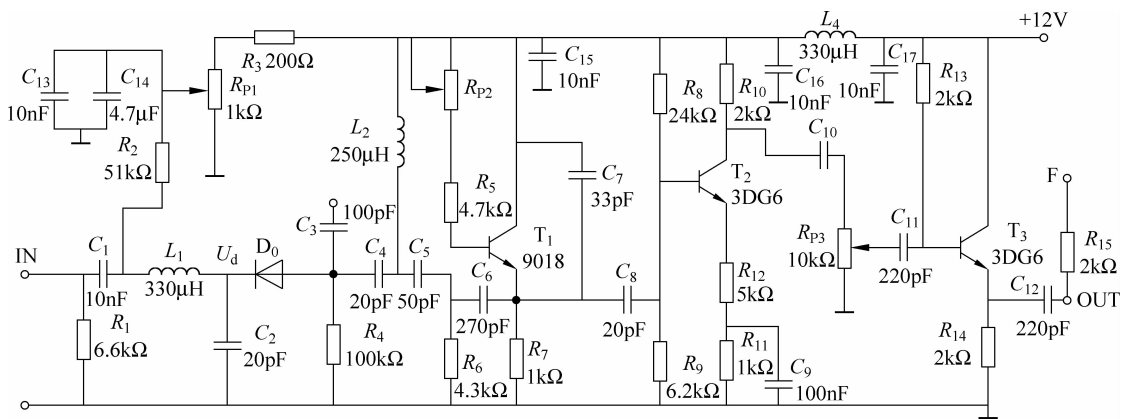


图 3-1 FM 调频器

## 5. 实验内容与步骤

### (1) 静态调制特性测试

① 当输入 IN 端不接音频信号时, 将数字频率计接到调频器输出 F 端。当接入电容  $C_3 = 100\text{pF}$  时, 调整电位器  $R_{P1}$ , 改变变容二极管的直流偏置电压, 使反偏电压  $U_d = 4\text{V}$ , 频率  $f_0 = 6.5\text{MHz}$ ; 然后重新调节电位器  $R_{P2}$ , 使反向偏置电压  $U_d$  在  $0 \sim 8\text{V}$  范围内变化, 测试此时对应的频率数据, 将结果填入表 3-1。

② 当输入 IN 端不接音频信号时, 将频率计接到调频器输出 F 端。不接电容  $C_3$  的情况下, 调整电位器  $R_{P1}$ , 改变变容二极管直流偏置电压, 使反向电压  $U_d = 4\text{V}$ , 频率  $f_0 = 6.5\text{MHz}$ , 然后重新调节电位器  $R_{P2}$ , 使二极管反向偏置电压  $U_d$  在  $0 \sim 8\text{V}$  范围内变化, 测试此时对应的频率数据, 将结果填入表 3-1。

表 3-1

| $U_d/\text{V}$   |          | 0 | 2 | 4 | 6 | 7 | 8 |
|------------------|----------|---|---|---|---|---|---|
| $f_0/\text{MHz}$ | 接入 $C_3$ |   |   |   |   |   |   |
|                  | 不接 $C_3$ |   |   |   |   |   |   |

### (2) 动态测试

① 测试时需要利用 3.2 节中介绍的 FM 解调器(相位鉴频器)来辅助。

实验条件: 将实验装置的相位鉴频器电路按要求接好, 即电路中的 E、F、G 三个连接点分别与  $C_5$ 、 $C_8$ 、 $C_9$  连接, 其目的是确保鉴频器工作在正常状态下(即是中心频率为  $6.5\text{MHz}$ 、上下频偏及幅度对称的 S 形曲线)。

② 当不接电容  $C_3$  时, 调节电位器  $R_{P1}$ , 使反向偏置电压  $U_d = 4\text{V}$ ,  $f_0 = 6.5\text{MHz}$ , 在 IN 端口输入频率  $f = 2\text{kHz}$  的音频信号, 将输出端接至相位鉴频器。在相位鉴频器输出端观察  $V_o$  调频波上、下频偏的关系。将测得的对应的频率数据填入表 3-2。

表 3-2

| V <sub>o</sub> /V |        | 0 | 0.2 | 0.4 | 0.6 | 0.8 | 1 |
|-------------------|--------|---|-----|-----|-----|-----|---|
| 接入 C <sub>3</sub> | Δf/MHz | 上 |     |     |     |     |   |
|                   |        | 下 |     |     |     |     |   |
| 不接 C <sub>3</sub> | Δf/MHz | 上 |     |     |     |     |   |
|                   |        | 下 |     |     |     |     |   |

③ 当接入  $C_3$  电容时, 调解电位器  $R_{P1}$ , 使二极管的反向偏置电压  $U_d = 4V$ , 频率  $f_0 = 6.5MHz$ , 自 IN 端口输入频率  $f = 2kHz$  的音频信号, 将输出端接至相位鉴频器。在相位鉴频器输出端观察  $V_o$ 。调频波上、下频偏的关系。记录对应的频率数据, 将结果填入表 3-2。

注: F 为输出端, 其电压用  $V_o$  表示。

## 6. 实验注意事项

- (1) 实验前按预习要求写好预习报告。
- (2) 先断电换接元器件, 接好电路, 检查线路无误后再通电实验。

## 7. 实验思考题及报告要求

- (1) 整理实验数据。
- (2) 在同一坐标纸上画出静态调制特性曲线, 并求出其调制灵敏度 S。说明曲线斜率受哪些因素的影响并分析原因。
- (3) 画出动态调制特性曲线, 说明输出波形畸变的原因。

## 3.2 FM 解调器

### 1. 实验前预习要求

- (1) 复习有关相位鉴频器的工作原理。
- (2) 复习典型电路和实用电路工作原理。
- (3) 分析初级回路、次级回路和耦合回路的有关参数对鉴频器工作特性 S 曲线的影响。

### 2. 实验目的

- (1) 熟悉相位鉴频电路的基本工作原理。
- (2) 掌握鉴频特性 S 曲线的正确调整方法。
- (3) 将 FM 调频器与相位鉴频器实验电路进行联机实验。
- (4) 通过联机实验进一步了解调频器和解调全过程, 以及整机调试方法。

### 3. 实验仪器及设备

- (1) XSGZ 高频实验装置。
- (2) 直流稳压电源。
- (3) 高频信号发生器。

- (4) 多功能计数器。
- (5) 数字化扫频仪。
- (6) 双踪示波器。
- (7) 数字万用表。
- (8) 毫秒表。
- (9) 连接导线若干。

#### 4. 实验电路原理及说明

实验电路如图 3-2 所示。FM 解调器(鉴别器)即相位鉴频器是模拟调频信号解调的一种最基本的解调电路,它具有鉴频灵敏度高、解调线性好等优点。IN 为相位鉴频器调制波的输入端,  $C_1$  提供合适的容性负载。晶体三极管  $T_1$  和晶体三极管  $T_2$  接成共集-共基电路, 以提高输入阻抗和展宽频带。电阻  $R_2$ 、 $R_3$  提供公用偏置电压, 电容  $C_2$  用以改善输出波形。晶体三极管  $T_2$  后面是电容耦合的双调谐回路相位鉴频器的电路部分, 它由  $LC$  电路和相位检波器两部分组成。二极管  $D_1$ 、 $D_2$  和电阻  $R_{10}$ 、 $R_{11}$  分别构成两个对称的包络检波器。鉴频器输出端 OUT 的电压由  $C_{12}$  两端取出,  $C_{12}$  对高频短路而对低频开路, 因而鉴频器的输出端 OUT 的电压等于两个检波器负载电阻上电压的变化之差。电阻  $R_7$  对输入信号频率呈现高阻抗, 为二极管提供直流通路。

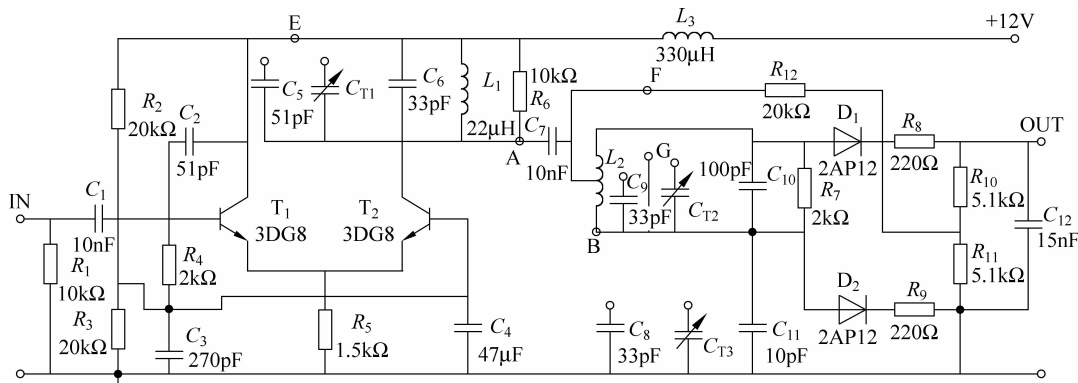


图 3-2 FM 解调器验电路

#### 5. 实验内容与步骤

##### (1) 用扫频信号及示波器调整鉴频器的鉴频特性

将实验电路中的 E、F、G 三个连接点分别与半可调电容  $C_{T1}$ 、 $C_{T2}$ 、 $C_{T3}$  连接。将扫频信号接入实验电路输入端 IN, 其输出信号不宜过大。调节实验装置的  $F_1$ 、 $F_2$  按键, 使中心频率为 6.5MHz。

##### (2) 调整调频放大器电路的回路频率

① 将扫频输入检波头插入测试孔 A。示波器接相应的 X、Y、Z, 并处于 X、Y 工作状态, 将耦合电容  $C_{T3}$  调到最小, 此时显示屏将显示一个谐振曲线图形。调节  $C_{T1}$  使谐振曲线的谐振频率为 6.5MHz, 此时中心点在曲线顶峰上, 再加上耦合电容  $C_{T3}$  的容量。输入检波头插

入测试孔B,此时显示屏幕出现凹坑的耦合谐振曲线图形。调节 $C_{T1}$ 、 $C_{T2}$ 、 $C_{T3}$ ,使曲线中心点两边的频带对称。

② 调整鉴频特性S形曲线。将示波器Y( $Y_B$ )输入端用1:1探极接至鉴频器输出端OUT,即可看到S形曲线。如曲线不理想,可适当调节 $C_{T1}$ 上、下对称;调节 $C_{T2}$ ,使频率 $f_0=6.5\text{MHz}$ ;调节 $C_{T3}$ ,使中心频率 $f_0$ 点附近线性度。调好后记录上、下两个峰点频率和两个峰点的高度格数,即 $f_{\max}$ 、 $f_{\min}$ 和 $V_m$ 、 $V_n$ 。

注:参见实验思考题(2)中的鉴频特性曲线。

(3) 用高频信号发生器逐点测出鉴频特性

将输入信号改为高频信号,输入电压为50mV。用数字电压表的直流挡测量鉴频器的输出电压,在5.5~7.5MHz范围内,在每格0.2MHz条件下测得相应的输出电压。将测量结果填入表3-3,找出S形曲线正、负两点的频率 $f_{\max}$ 、 $f_{\min}$ 和 $V_m$ 、 $V_n$ 。

表 3-3

| $f/\text{MHz}$  | 5.5 | 5.7 | 5.9 | 6.1 | 6.3 | 6.5 | 6.7 | 6.9 | 7.1 | 7.3 | 7.5 |
|-----------------|-----|-----|-----|-----|-----|-----|-----|-----|-----|-----|-----|
| $V_o/\text{mV}$ |     |     |     |     |     |     |     |     |     |     |     |

(4) 观察回路 $C_{T1}$ 、 $C_{T2}$ 、 $C_{T3}$ 对S形曲线的影响

① 调整电容 $C_{T2}$ ,观察对鉴频特性的影响。

记录 $C_{T2} > C_{T2-0}$ 或 $C_{T2} < C_{T2-0}$ 的变化并与 $C_{T2} = C_{T2-0}$ 的曲线相比较,再将 $C_{T2}$ 调至 $C_{T2-0}$ 的正常位置。

注: $C_{T2-0}$ 表示回路谐振时的电容。

② 调节 $C_{T1}$ ,重复①的实验。

③ 调节 $C_{T3}$ 至较小的位置,微调 $C_{T1}$ 、 $C_{T2}$ ,得到S形曲线,记下曲线中点及上、下两峰的频率 $f_0$ 、 $f_{\min}$ 、 $f_{\max}$ 和两点高度格数 $V_m$ 、 $V_n$ 的值。

④ 再调节 $C_{T3}$ 到最大。重新调节S形曲线到最佳,再记录频率 $f_0$ 、 $f_{\max}$ 、 $f_{\min}$ 和电压 $V_m$ 、 $V_n$ 的值。

定义:峰点带宽 $BW = f_{\max} - f_{\min}$

曲线斜率 $S = (V_m - V_n)/BW$

比较 $C_{T3}$ 最大或最小时的BW和S并进行分析。

(5) 将调频电路与鉴频电路相连接后调试

将调频电路的中心频率调为6.5MHz,将鉴频器中心频率也调谐在6.5MHz。将调频输出信号送入FM解调器(鉴相器)输入端,将 $f=20\text{kHz}$ 、 $V_m=400\text{mV}$ 的音频调制信号加到调频电路输入端进行调频。用双踪示波器同时观测调制信号和解调信号,比较二者的异同,如输出波形不理想,可调节鉴频器 $C_{T1}$ 、 $C_{T2}$ 、 $C_{T3}$ 。将音频信号加大到 $V_m=800\text{mV}$ 和 $V_m=1000\text{mV}$ ,观察波形变化并分析实验波形。

## 6. 实验注意事项

(1) 实验前写好预习报告。

(2) 先断电后接线,检查线路无误后再通电实验。

(3) 断电改变电路参数,接好电路并检查无误后再通电进行实验。

### 7. 实验思考题及报告要求

- (1) 整理实验数据，并画出实验波形。
- (2) 按表 3-3 所示实验数据画出鉴频特性 S 形曲线如图 3-3 所示。

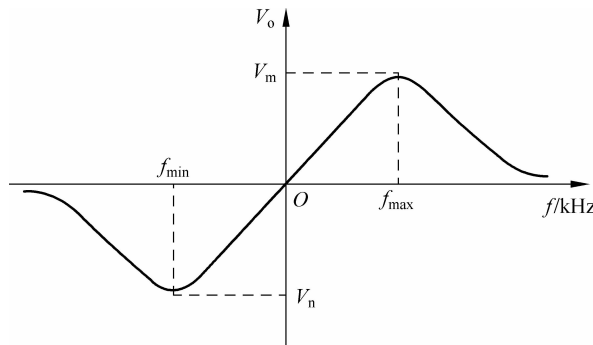


图 3-3 鉴频特性曲线

- (3) 分析回路参数对鉴频特性的影响。
- (4) 分析在调频电路和鉴频电路联机实验中遇到的问题及解决办法，画出调频输入和鉴频输出的波形，并分析其特点。

## 3.3 集成电路函数发生器构成频率调制器

### 1. 实验前预习要求

- (1) 查阅有关集成电路压控振荡器的资料。
- (2) 了解 566(VCO 的单片集成电路)的内部电路及原理。
- (3) 查阅 566 元器件各管脚的功能。

### 2. 实验目的

- (1) 写出图 3-6 集成电路函数发生器(压控振荡器)和用它构成频率调制的原理。
- (2) 掌握集成电路频率调制器的工作原理。
- (3) 熟悉 566 外接元件的作用。

### 3. 实验仪器及设备

- (1) XSGZ 高频实验装置。
- (2) 直流稳压电源。
- (3) 高频信号发生器。
- (4) 多功能计数器。
- (5) 电容表。
- (6) 双踪示波器。

(7) 数字万用表。

(8) 连接导线若干。

#### 4. 实验电路原理及说明

566(VCO)内部结构原理电路图如图 3-4 所示,566(VCO)的管脚图及功能如附录 B 中附图 B-4 所示。在图 3-4 中,幅度鉴别器的正向触发电平定义为  $V_{SP}$ ,反向触发电平定义为  $V_{SM}$ 。当电容 C 充电,其电压  $V_7$ (566 管脚 7 对地的电压)上升至  $V_{SP}$  时,幅度鉴别器翻转,输出高电平,从而使内部的控制电压形成电路的输出电压,该电压  $V_o$  为高电平;当电容 C 放电时,其电压  $V_7$  下降至  $V_{SM}$  时,幅度鉴别器再次翻转,输出低电平,从而使  $V_o$  也变为低电平。用  $V_o$  的高、低电平控制  $S_1$  和  $S_2$  两个开关的闭合与断开。 $V_o$  为低电平时, $S_1$  闭合, $S_2$  断开,这时  $I_6 = I_7 = 0, I_o$  全部给电容 C 充电,使  $V_7$  上升。由于  $I_o$  为恒流源, $V_7$  线性斜升,升至  $V_{SP}$  时, $V_o$  跳变为高电平。 $V_o$  高电平时控制  $S_2$  闭合, $S_1$  断开,恒流源  $I_o$  全部流入 A 支路,即  $I_6 = I_o$ 。由于电流转发器的特性,B 支路电流  $I_7$  应等于  $I_6$ ,所以  $I_7 = I_o$ ,该电流由 C 放电电流提供,因此  $V_7$  线性斜降, $V_7$  降至  $V_{SM}$  时, $V_o$  跳变为低电平。如此周而复始地循环。电压  $V_7$  及输出电压  $V_o$  的波形如图 3-5 所示,实验电路图如图 3-6 所示。

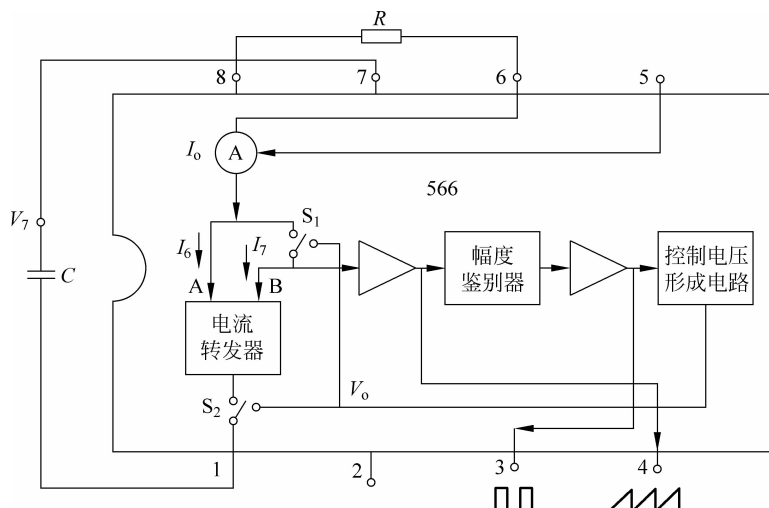


图 3-4 566(VCO) 内部结构原理电路

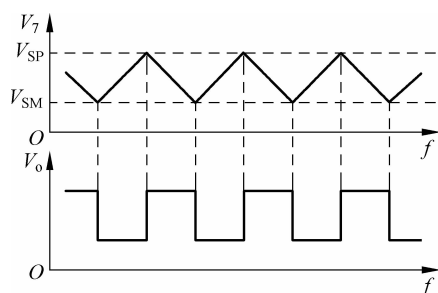


图 3-5 输出方波

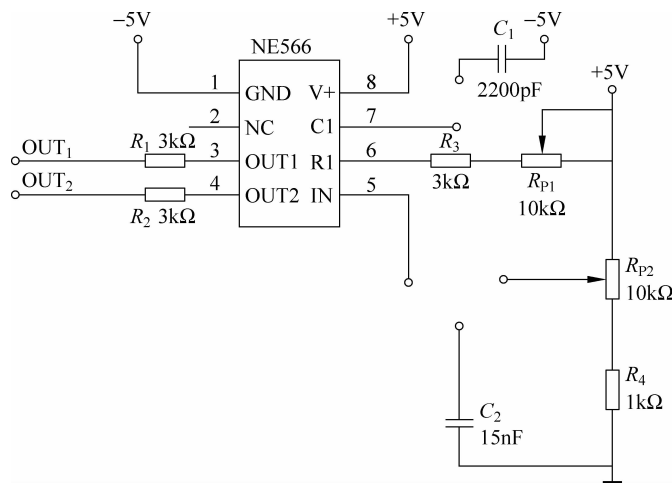


图 3-6 566(VCO)集成电路构成的频率调制器实验电路

566 输出的方波及三角波的载波频率(或称中心频率)可用外加电阻  $R$  和外加电容  $C$  来确定, 即

$$f = \frac{2(V_8 - V_5)}{RCV_8} \quad (\text{Hz})$$

式中,  $R$  为时基电阻;  $C$  为时基电容;  $V_8$  是 566 管脚 8 至地的电压;  $V_5$  是 566 管脚 5 至地的电压。电位器  $R_{P1}$  和  $R_{P2}$  均为  $10\text{k}\Omega$ 。

## 5. 实验内容与步骤

(1) 接通电源  $\pm 5\text{V}$ , 观察电阻  $R$  和电容  $C_1$  对频率的影响(其中  $R = R_3 + R_{P1}$ )。按图 3-6 连线, 将  $C_1$  接入 566 管脚 7, 将电位器  $R_{P2}$  及  $C_2$  接至 566 的 5 脚。调节电位器  $R_{P2}$ , 使  $V_5 = 3.5\text{V}$ 。将频率计接至 566 管脚 3, 改变  $R_{P1}$ , 观察方波输出信号频率, 记录当电阻  $R$  为最大值和最小值时的输出频率, 电阻  $R$  分别为  $R_{\max}$  和  $R_{\min}$ 、接入  $C_1 = 2200\text{pF}$  时, 计算这两种情况下的频率。并与实际测量值进行比较。用双踪示波器观察并记录  $R = R_{\min}$  时方波及三角波的输出波形。

(2) 观察输入电压对输出频率的影响。

### ① 直流电压控制

先调节  $R_{P2}$  至最大。然后改变  $R_{P2}$ , 调整输入电压, 测量  $V_5$  在  $2.2 \sim 4.2\text{V}$  变化时, 输出频率  $f$  的变化,  $V_5$  以  $0.2\text{V}$  递增。将测量结果填入表 3-4。

表 3-4

| $V_5/\text{V}$ | 2.2 | 2.4 | 2.6 | 2.8 | 3 | 3.2 | 3.4 | 3.6 | 3.8 | 4.0 | 4.2 |
|----------------|-----|-----|-----|-----|---|-----|-----|-----|-----|-----|-----|
| $f/\text{MHz}$ |     |     |     |     |   |     |     |     |     |     |     |

### ② 交流电压控制

仍将  $R$  设置为最大, 断开 5 脚所接  $C_2$  的电位器  $R_{P2}$ 。将图 3-7(输入信号电路)中的输出端 OUT 接至图 3-6 中 566 的 5 脚。

调制信号为正弦波,将  $V_i$ (输入的调制信号)置为  $f=5\text{kHz}$ ,  $V_{\text{P-P}}=1\text{V}$ ,然后接至图 3-7 所示电路的 IN 端,用双踪示波器同时观察输入信号  $V_i$  和 566 管脚 3 的调频 FM 方波输出信号,观察并记录当输入信号幅度和频率有微小变化时,输出波形的变化。微调调制信号的频率,达到理想的观察效果。

**注意:**为了更好地用示波器观察频率随电压变化的情况,输入信号  $V_i$  的幅度不要大于  $1.3\text{V}$ 。

调制信号改用方波信号  $V_i$ ,使其频率为  $1\text{kHz}$ ,幅度为  $1\text{V}$ ,用双踪示波器观察并记录  $V_i$  和 566 管脚 3 的调频 FM 方波输出信号。

## 6. 实验注意事项

- (1) 实验前写好预习报告。
- (2) 先断电后接线,检查线路无误后再通电实验。

## 7. 实验思考题及报告要求

- (1) 整理实验结果。
- (2) 画出实验波形。
- (3) 说明调频的概念。
- (4) 阐述 566(VCO 的单片集成电路)的调频原理。
- (5) 根据实验说明接在 566 管脚 6 上  $R$  的作用。计算当电阻  $R$  最大、最小时 566 的频率,并与实验结果进行比较。

## 3.4 集成电路构成的频率解调器

### 1. 实验前预习要求

- (1) 查阅有关锁相环内部结构及工作原理的资料。
- (2) 复习锁相环集成电路与外部元器件管脚的知识。
- (3) 查阅 565 元器件各管脚的功能。

### 2. 实验目的

- (1) 熟悉用锁相环构成调频波的解调原理。
- (2) 掌握集成电路频率调制器/解调器系统的工作原理。
- (3) 熟悉锁相环集成电路与外部元器件之间的关系。

### 3. 实验仪器及设备

- (1) XSGZ 高频实验装置。
- (2) 直流稳压电源。
- (3) 高频信号发生器。
- (4) 多功能计数器。

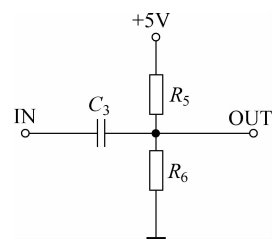


图 3-7 输入信号电路

- (5) 双踪示波器。
- (6) 数字万用表。
- (7) 连接导线若干。

#### 4. 实验电路原理及说明

565(PLL)内部结构原理电路如图 3-8 所示。565 的管脚图及功能如附录 B 中附图 B-5 所示。锁相环内部电路由相位鉴别器、压控振荡器和放大器三部分构成。相位鉴别器由模拟乘法器构成,它有两组输入信号,一组为外部管脚②、③,输入信号  $V_1$ ,其频率为  $f_1$ ;另一组为内部压控振荡器,产生信号  $V_2$ ,经④脚输出,接至⑤脚送到相位鉴别器,其频率为  $f_2$ 。当  $f_1$  和  $f_2$  差别很小时,可用频率差代表两个信号之间的相位差,即  $f_1 - f_2$  的值使相位鉴别器输出一个直流电压,该电压经⑦脚送至 VCO 的输入端,控制 VCO,使其输出信号频率  $f_2$  发生变化。这一过程不断进行,直至  $f_2 = f_1$  时为止,这时称为锁相环锁定。集成电路(锁相环)构成的频率解调器其实验电路如图 3-9 所示。

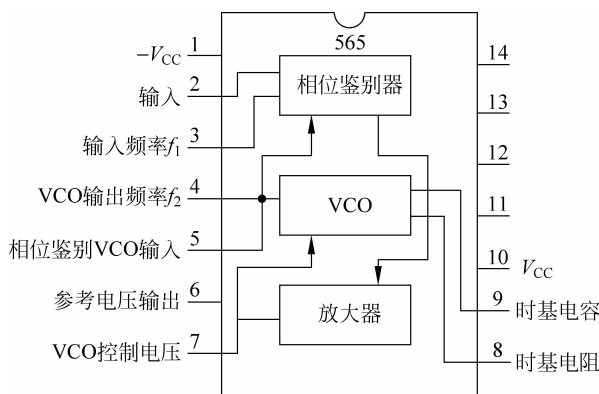


图 3-8 565(PLL)内部结构原理电路

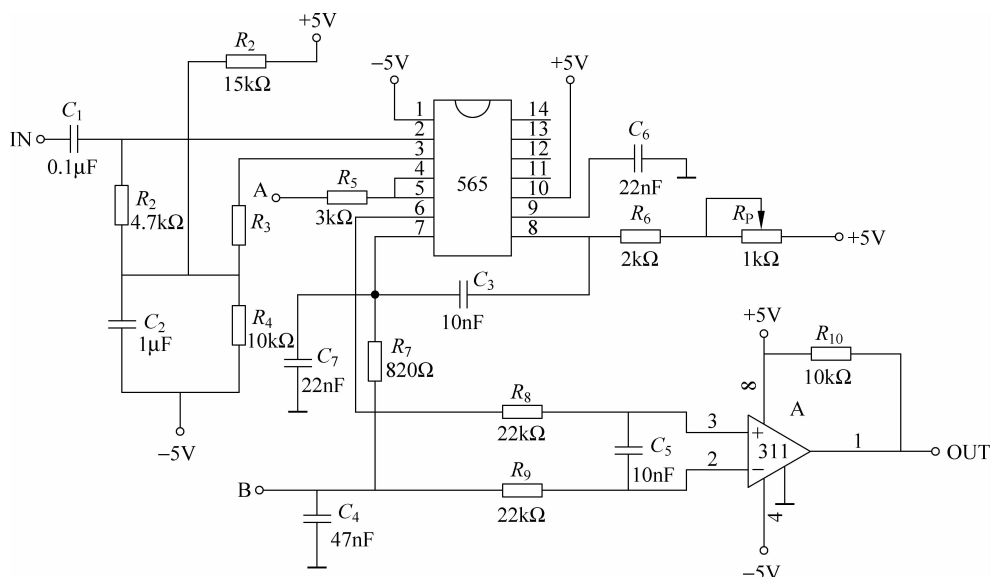


图 3-9 565(PLL)集成电路(锁相环)构成的频率解调器实验电路